

This map was produced by Natural Resources Canada in co-operation with Health Canada.
Cette carte a été produite par Ressources naturelles Canada en collaboration avec Santé Canada.

GSC OPEN FILE 6738 / DOSSIER PUBLIC 6738 DE LA CGC

GEOPHYSICAL SERIES / SÉRIE DES CARTES GÉOPHYSIQUES
NTS 73 C, 73 D, 73 E, 73 F, 83 A, and 83 H / SNRC 73 C, 73 D, 73 E, 73 F, 83 A et 83 H

AIRBORNE GEOPHYSICAL SURVEY, WAINWRIGHT, ALBERTA-SASKATCHEWAN
LEVÉ GÉOPHYSIQUE AÉROPORTÉ, WAINWRIGHT, ALBERTA-SASKATCHEWAN

Authors: Carson, J.M., Ford, K.L., Hefford, S.,
Fortin, R. and Harvey, B.J.A.
Data acquisition, compilation and map production by Fugro Airborne
Surveys, Ottawa, Ontario. Contract and project management by the
Geological Survey of Canada, Ottawa, Ontario.

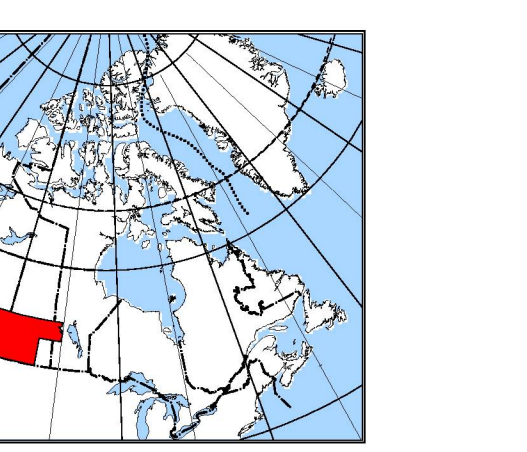
Auteurs: Carson, J.M., Ford, K.L., Hefford, S.,
Fortin, R. et Harvey, B.J.A.
L'acquisition, la compilation et la production des cartes furent effectuées par Fugro Airborne Surveys, Ottawa,
Ontario. La gestion et la supervision du projet furent effectuées par la Commission géologique du Canada, Ottawa, Ontario.

URANIUM

Scale 1:500 000 - Échelle 1/500 000

Kilometres 10 0 10 20 30 40 Kilometres

NAD83 / UTM zone 12N



Universal Transverse Mercator Projection
North America Datum 1983
© Her Majesty the Queen in Right of Canada 2011
Projection transversale universelle de Mercator
Système de référence géodésique nord-américain, 1983
© Le Gouvernement du Canada, 2011
Digital Topographic Data provided by Geomatics Canada, Natural Resources Canada
Données topographiques numériques de Geomatics Canada, Ressources naturelles Canada

| MAP SHEET SUMMARY / SOMMAIRE DES FEUILLETS | |
|--|--|
| CGC Sheet | MAP / CARTE |
| CGC Feuillet | 1. Natural Air Absorbed Dose Rate Taux d'absorption naturel des rayons gamma dans l'air |
| | 2. Potassium |
| | 3. Uranium |
| | 4. Thorium |
| | 5. Uranium / Thorium |
| | 6. Uranium / Potassium |
| | 7. Uranium / Potassium |
| | 8. Ternary Radioelement Map Diagramme ternaire des radéléments |

| OPEN FILE DOSSIER PUBLIC | |
|-----------------------------|---|
| 6738 | Open files are products that have not gone through the formal publication process. |
| 2011 | The dossier public sont des produits qui n'ont pas encore passé le processus officiel de publication de la CGC. |
| SHEET 3 OF 2 | FEUILLET 3 DE 2 |
| | Recommended citation: Carson, J.M., Ford, K.L., Hefford, S., Fortin, R. and Harvey, B.J.A., 2011. Geophysical Series, NTS 73 C, 73 D, 73 E, 73 F, 83 A, and 83 H, Airborne Geophysical Survey, Wainwright, Alberta-Saskatchewan; Geological Survey of Canada, Open File 6738. |

Notation bibliographique conseillée:
Carson, J.M., Ford, K.L., Hefford, S., Fortin, R. et Harvey, B.J.A., 2011.
Série géophysique, géophysique aérienne, 73 C, 73 D, 73 E, 73 F, 83 A et 83 H, échelle 1:500 000, Carte géophysique aérienne, Wainwright, Alberta-Saskatchewan, Commission géologique du Canada, Dossier public 6738.

Notation bibliographique recommandée:
Carson, J.M., Ford, K.L., Hefford, S., Fortin, R. et Harvey, B.J.A., 2011.
Série géophysique, géophysique aérienne, 73 C, 73 D, 73 E, 73 F, 83 A et 83 H, échelle 1:500 000, Carte géophysique aérienne, Wainwright, Alberta-Saskatchewan, Commission géologique du Canada, Dossier public 6738.

A quantitative gamma-ray spectrometric airborne geophysical survey of Southern Alberta, Southern Saskatchewan, and Western Manitoba was made by Fugro Airborne Surveys. The survey was flown from August 4 to September 20, 2010 using a Cessna 208B Caravan aircraft (C-GNC43) and a Cessna 404 Caravan aircraft (C-FYAU). The nominal traverse line spacing was 500 m, and the aircraft flew at a nominal terrain clearance of 150 m at an air speed between 200 and 270 km/h. Traverse lines were oriented 90°. The flight path was recovered following post-flight differential corrections to raw data recorded by a Global Positioning System.

AIRBORNE GEOPHYSICAL SURVEY

The airborne gamma-ray spectrometric survey was conducted by Fugro Airborne Surveys. The survey was flown from August 4 to September 20, 2010 using a Cessna 208B Caravan aircraft (C-GNC43) and a Cessna 404 Caravan aircraft (C-FYAU). The nominal traverse line spacing was 500 m, and the aircraft flew at a nominal terrain clearance of 150 m at an air speed between 200 and 270 km/h. Traverse lines were oriented 90°. The flight path was recovered following post-flight differential corrections to raw data recorded by a Global Positioning System.

Gamma-ray Spectrometric Data

The airborne gamma-ray spectrometric measurements were made with Exploranium GR8220 gamma-ray spectrometers. Each detector system consisted of twelve crystals (total volume 50.4 litres). Two crystals (total volume 8.4 litres), shielded by the main arrays, were used to detect variations in background radiation caused by atmospheric radioactivity. The systems constantly monitored the natural thorium peak for each crystal, and used a Gaussian least squares algorithm, adjusted the gain for each crystal.

Potassium is measured directly by direct photons emitted by K^{40} , whereas uranium and thorium are measured indirectly from gamma photons emitted by decay products of U^{238} and T^{232} for thorium. All three of these isotopes have their own respective decay chains, they are assumed to be in equilibrium with their parents; thus gamma-ray spectrometric measures of uranium and thorium are referred to as equivalent uranium and equivalent thorium, or U_{eq} and T_{eq} . The energy windows used to measure potassium, uranium and thorium are, respectively, 1370 – 1570 keV, 1660 – 1860 keV, and 2410 – 2810 keV.

Gamma-ray spectra were recorded at one-second intervals. During processing, the spectra were energy binned, and the counts were accumulated into the windows described above. Corrections for the radar detectors were made in a 1000 – 1800 keV energy range and radiation dose meter data from 2000 keV were used to correct for the background radiation. The window data were then corrected for spectral scattering in the ground, and the detectors. Corrections for deviations from the planned terrain clearance and for variation of temperature and pressure were made prior to converting to ground concentrations of potassium, uranium and thorium, using factors determined from flights over the Breckenridge, Colorado calibration range. The factors for potassium, uranium and thorium were, respectively, 74.92 cps/mm, 7.47 cps/mm, and 4.26 cps/mm for C-GNC43 and 78.92 cps/mm, 6.07 cps/mm, and 5.32 cps/mm for C-FYAU.

Corrected data were filtered and interpolated to a 500 m grid interval. The results of an airborne gamma-ray spectrometer survey represent the average surface concentrations of potassium, uranium and thorium. The values are corrected for the actual dose rate in the field, and the results computed from the measured concentrations of potassium, uranium and thorium. A more comprehensive description of airborne gamma-ray spectrometry surveys including technical specifications, instrumentation, calibration, data processing and interpretation is covered by Grasty et al., (1991), Grasty and Minty (1995), and the International Atomic Energy Agency (2003) and references therein.

LEVÉ GÉOPHYSIQUE AÉROPORTÉ

Un levé géophysique aéroporté de spectroscopie gamma a été réalisé dans le sud de l'Alberta, le sud de la Saskatchewan, et le centre-ouest du Manitoba pour déterminer les niveaux de radon dans le sol à une hauteur de 150 m au-dessus du sol et à 200 à 270 km/h. Les résultats nominaux de la vitesse étaient de 200 à 270 km/h. Les résultats nominaux de la hauteur étaient de 150 m au-dessus du sol et que la vitesse était de 200 à 270 km/h. Les lignes de vol étaient orientées à 90°. La trajectoire du vol a été restituée par l'application après le vol de corrections différentielles aux données brutes enregistrées avec un récepteur GPS.

Données de spectroscopie gamma

Les mesures du rayonnement gamma ont été effectuées respectivement à l'aide d'un spectrographe gamma Exploranium GR8220 utilisant plusieurs cristaux de NaI (Tl) de 102 x 102 x 406 mm. Le réseau de capteurs se compose de douze cristaux (volume total de 50.4 litres), protégés par le réseau principal, ont été utilisés pour déceler les variations du rayonnement naturel causées par le rayonnement atmosphérique. Le filtre de filtration (volume total de 8.4 litres) est utilisé pour faire un suivi continu des thoriocéides père, ainsi, les mesures spectrométriques du rayonnement gamma de l'uranium et du thorium sont désignées comme des équivalents d'uranium et des équivalents de thorium, respectivement, K^{40} et T^{232} .

Le potassium est mesuré directement d'après les photons gamma émis par des produits de désintégration (K^{40}) tandis que l'uranium et le thorium sont mesurés indirectement d'après les photons gamma émis par des produits de désintégration (U^{238} et T^{232} pour le thorium). Bien que ces radionucléides de désintégration soient trouvés loin dans leur chaîne respective de désintégration, on presume qu'ils sont en équilibre avec leur radionucléide père, ainsi, les mesures spectrométriques du rayonnement gamma de l'uranium et du thorium sont désignées comme des équivalents d'uranium et de thorium, respectivement, 74.92 cps/mm, 7.47 cps/mm, et 4.26 cps/mm pour C-GNC43 et 78.92 cps/mm, 6.07 cps/mm, et 5.32 cps/mm pour C-FYAU.

Les spectres de rayonnement gamma ont été enregistrés pendant des intervalles d'une seconde. Pendant le traitement, les spectres ont été courbés à un échelon énergétique et les coups ont été cumulés dans des plages décrétées ci-dessous. Les coups obtenus à l'aide des capteurs de radon ont été enregistrés dans la plage de 1660 à 1860 keV et le rayonnement à des énergies supérieures à 3 000 keV a été enregistré dans la plage de rayonnement atmosphérique. Le débit relatif de l'air a été mesuré dans la partie inférieure de l'atmosphère et les corrections cosmiques, de la radicalité de l'atmosphère et des produits de désintégration du radon atmosphérique. Les données pour les plages ont ensuite été corrigées pour tenir compte de la diffusion spectrale dans le sol, l'air et les capteurs. Les corrections pour les échats à la hauteur de vol peuvent être appliquées aux spectres de rayonnement gamma en utilisant les résultats obtenus lors de vols effectués au-dessus d'une bande d'étonnage à Breckenridge, Québec. Les facteurs déterminés pour le potassium, l'uranium et le thorium étaient respectivement de 78.92 cps%, 6.07 cps/mm, et 5.32 cps/mm pour C-GNC43 et de 74.39 cps%, 7.47 cps/mm, et 4.83 cps/mm pour C-FYAU.

Un filtre a été appliqué aux spectres de rayonnement gamma, qui ont ensuite été interpolées suivant un grilleau de 500 m. Les résultats de ce levé sont comparés aux informations fournies par les données variables des affleurements, des morts-mans, de la couverture végétale et de l'eau de surface. Ensuite, les concentrations mesurées sont habituellement plus faibles que les concentrations réelles dans le substratum rocheux. Le débit relatif de l'air absorbé par l'air, en nanograys à l'heure, a été déterminé d'après les prévisions de l'air absorbé par l'air dans le substratum rocheux, en utilisant des facteurs déterminés par une comparaison avec des résultats obtenus au-dessus d'une bande d'étonnage à Breckenridge, Québec. Les facteurs déterminés pour le potassium, l'uranium et le thorium étaient respectivement de 78.92 cps%, 6.07 cps/mm, et 5.32 cps/mm pour C-GNC43 et 74.39 cps%, 7.47 cps/mm, et 4.83 cps/mm pour C-FYAU.

Un filtre a été appliquée aux spectres de rayonnement gamma, qui ont ensuite été interpolées suivant un grilleau de 500 m. Les résultats de ce levé sont comparés aux informations fournies par les données variables des affleurements, des morts-mans, de la couverture végétale et de l'eau de surface. Ensuite, les concentrations mesurées sont habituellement plus faibles que les concentrations réelles dans le substratum rocheux. Le débit relatif de l'air absorbé par l'air, en nanograys à l'heure, a été déterminé d'après les prévisions de l'air absorbé par l'air dans le substratum rocheux, en utilisant des facteurs déterminés par une comparaison avec des résultats obtenus au-dessus d'une bande d'étonnage à Breckenridge, Québec. Les facteurs déterminés pour le potassium, l'uranium et le thorium étaient respectivement de 78.92 cps%, 6.07 cps/mm, et 5.32 cps/mm pour C-GNC43 et 74.39 cps%, 7.47 cps/mm, et 4.83 cps/mm pour C-FYAU.

References/Références

Grasty, R.L., Melander, H. and Parker, M. (1991) Airborne Gamma-ray spectrometer surveying: International Atomic Energy Agency, Technical Report Series 323, Vienna, 97 p.

Grasty, R.L. and Minty, B.R.S. (1995) A guide to the technical specifications for airborne gamma-ray surveys; Australian Geological Survey Organisation, Recueil 1995/60, 89 p.

International Atomic Energy Agency. 2003. Guidelines for radiemento mapping using gamma ray spectrometry. IAEA-TECDOC-1363, 173p.

PLANIMETRIC SYMBOLS / SYMBOLES PLANIMÉTRIQUES

| | |
|-------------|--|
| Roads | |
| Railway | |
| Power Line | |
| Drainage | |
| Flight path | |



NATIONAL TOPOGRAPHIC SYSTEM REFERENCE AND GEOGRAPHICAL MAP INDEX / SYSTÈME NATIONAL DE RÉFÉRENCE CARTOGRAPHIQUE ET INDEX DES CARTES GÉOPHYSIQUES

| MAP SHEET SUMMARY / SOMMAIRE DES FEUILLETS | |
|--|--|
| GSC Sheet | MAP / CARTE |
| CGC Feuillet | 1. Natural Air Absorbed Dose Rate Taux d'absorption naturel des rayons gamma dans l'air |
| | 2. Potassium |
| | 3. Uranium |
| | 4. Thorium |
| | 5. Uranium / Thorium |
| | 6. Uranium / Potassium |
| | 7. Uranium / Potassium |
| | 8. Ternary Radioelement Map Diagramme ternaire des radéléments |

Open file products that have not gone through the formal publication process.

Les dossiers public sont des produits qui n'ont pas encore passé le processus officiel de publication de la CGC.

Open file products that have not gone through the formal publication process.

Les dossiers public sont des produits qui n'ont pas encore passé le processus officiel de publication de la CGC.

Open file products that have not gone through the formal publication process.

Les dossiers public sont des produits qui n'ont pas encore passé le processus officiel de publication de la CGC.